

# ДИЭЛЕКТРИЧЕСКИЕ СВОЙСТВА КРИСТАЛЛОВ $\text{Cs}_2\text{HgCl}_4$ В ОБЛАСТИ ФАЗОВЫХ ПЕРЕХОДОВ

С. Н. Каллаев, В. В. Гладкий, В. А. Кириков, В. И. Пахомов,  
И. Н. Иванова-Корфина, А. В. Горюнов

Интенсивные исследования кристаллов группы  $A_2\text{BX}_4$ , проводимые в последние годы, связаны с обнаружением в некоторых из них необычных физических свойств, проявляющихся наиболее ярко в области структурного перехода из соразмерной в несоразмерную фазу [1]. В настоящей работе проведено исследование температурной зависимости диэлектрической проницаемости и пироэлектрического эффекта одного из представителей этого семейства  $\text{Cs}_2\text{HgCl}_4$ , в котором при понижении температуры происходит ряд структурных фазовых переходов [2-6].

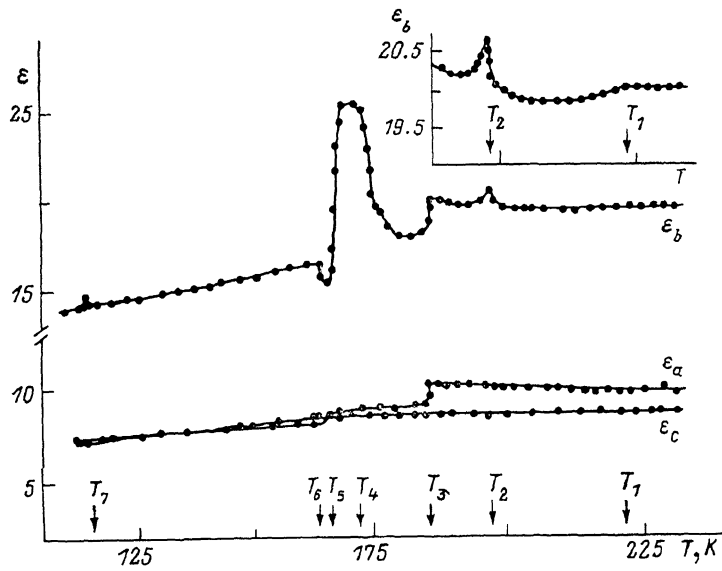


Рис. 1. Температурная зависимость диэлектрической проницаемости  $\epsilon$  кристалла  $\text{Cs}_2\text{HgCl}_4$ .

При нормальных условиях кристалл  $\text{Cs}_2\text{HgCl}_4$ , по рентгеновским данным, имеет структуру типа  $\beta\text{-K}_2\text{SO}_4(D_2h)$  и параметры ромбической ячейки  $a=9.798$ ,  $b=7.585$ ,  $c=13.384 \text{ \AA}$  [5]. Исследования проводились на монокристаллах, выращенных из раствора методом понижения температуры. Образцы представляли собой пластинки, ориентированные перпендикулярно кристаллофизическим осям координат, толщиной 0.05 см и площадью  $0.4 \times 0.3 \text{ см}$ , на которые наносились электроды из серебряной пасты. Относительная погрешность измерения диэлектрической проницаемости на частоте 1 кГц составляла 0.01. Пироэффект измерялся электрометрическим способом.

На рис. 1, 2 приведены температурные зависимости диэлектрической проницаемости  $\epsilon$  и спонтанной поляризации  $P_b$  в нулевом электрическом поле  $E$ . Как видно из рис. 1, наиболее выраженные изменения  $\epsilon$  наблюдаются на « $b$ -срезе», при этом можно выделить следующие температурные точки, в которых проявляются аномалии:  $T_1=220.5$ ,  $T_2=196.4$ ,  $T_3=184.5$ ,  $T_4=172.1$ ,  $T_5=164.7$ ,  $T_6=162.0$ ,  $T_7=112.5$  К.

Изменение  $\epsilon_b$  при  $T_1=220.5$  К напоминает аномалию, характерную для структурных переходов в несоразмерную фазу [1]. Причем температура  $T_1$  приблизительно совпадает с точкой перехода, определенной по данным

ЯКР в [3], где на основании анализа температурных зависимостей частот и интенсивности линий спектра сделан вывод, что при  $T=219$  К совершается переход в несоразмерную фазу. При температуре  $T_2=196.4$  К отмечается  $\lambda$  аномалия  $\epsilon_b$  с температурным гистерезисом  $\sim 1.4$  К и появляется отличная от нуля  $P_b$  (рис. 2), а в области температуры  $T_3=184.5$  К наблюдается «скачок» восприимчивостей  $\epsilon_a$  и  $\epsilon_b$  (рис. 1) и поляризации  $P_b$  (рис. 2) с температурным гистерезисом  $\sim 0.5$  К. Эта температурная точка отмечалась ранее также по результатам исследования теплоемкости и диэлектрических свойств в [2, 4, 5].

Наиболее ярко выраженные аномалии  $\epsilon_b$  и  $P_b$  наблюдаются при температурах  $T_4=172.1$  и  $T_5=164.7$  К. Температурные гистерезисы соответственно равны 0.9 и 2.1 К. Аналогичная куполообразная форма кривой  $\epsilon_b(T)$  приблизительно в этом же температурном диапазоне наблюдалась также в [5], где по величине изменения  $\epsilon_b$  и характеру спектров комбинационного рассеяния света предполагалось, что максимум  $\epsilon_b$  совпадает с точкой несобственного сегнетоэлектрического перехода. Наши данные

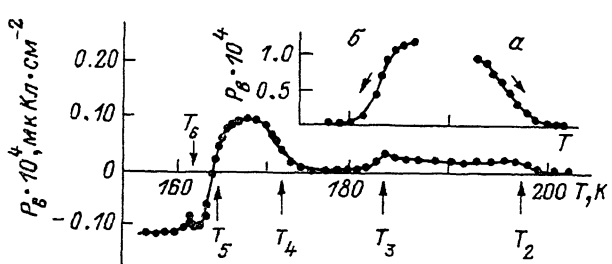


Рис. 2. Температурная зависимость поляризации  $P_b$  кристалла  $\text{Cs}_2\text{HgCl}_4$  (при охлаждении).

измерения  $\epsilon_b$  и  $P_b$ , по-видимому, показывают, что в  $T_4$  и  $T_5$  реализуются два фазовых перехода, а новая фаза в температурной области  $T_4 > T > T_5$  является полярной.

При температуре  $T_6=162.0$  К обнаружены незначительные аномалии в температурном поведении  $\epsilon_b$  и  $P_b$ , которые дают основания предположить о наличии еще одного структурного фазового перехода. Что касается перехода при  $T_7=112.5$  К, то он наблюдался и в работах [3, 5]. Имеющиеся экспериментальные данные пока не позволяют более определенно интерпретировать природу низкотемпературных фаз в области  $T_6 < T < T_5$ ,  $T_7 < T < T_6$  и  $T < T_7$ . Следует отметить, что слабые аномалии в большинстве отмеченных температурных точек наблюдаются также на температурных зависимостях  $\epsilon_a$  и  $\epsilon_c$ .

На вставке и рис. 2 показаны температурные зависимости поляризации короткозамкнутого кристалла ( $E=0$ ) в области температур  $T_2$  и  $T_3$ , которые снимались при повышении (a) и понижении (b) температуры, после его предварительного охлаждения и нагревания соответственно в поляризующем постоянном поле  $E=2.5$  кВ/см. Температурные зависимости  $P_b$  при  $E=0$  воспроизводят температурную зависимость спонтанной поляризации  $P_s$ . Этот результат позволяет более определенно высказаться в пользу того, что в области температур  $T_3 < T < T_2$  реализуется сегнетоэлектрическая фаза. К сожалению, характерной для сегнетоэлектриков гистерезисной зависимости  $P$  от  $E$  выявить не удалось. Возможно, что причиной является малое значение спонтанной по сравнению с индуцированной электрическим полем линейной поляризацией и заметная проводимость, вносящая искажения в результате измерений, либо электрическая «жесткость» кристалла, тормозящая процесс перестройки доменной структуры в электрическом поле.

Таким образом, результаты измерений приводят к выводу, что кристаллы  $\text{Cs}_2\text{HgCl}_4$  имеют по крайней мере семь характерных температурных точек, разделяющих восемь различных фаз, а фазы в интервале температур

$T_2 > T > T_3$  и  $T < T_4$  являются полярными. Для полного выяснения природы всех обнаруженных фазовых переходов требуются дальнейшие исследования различных физических свойств и, в особенности, структурные исследования.

### Список литературы

- [1] Blinc R., Levanyuk A. Incommensurate phases in dielectrics. V. 14.2. N.-Holland, 1986. 320 p.
- [2] Данилов В. Б., Онопко В. В., Богданова А. В., Шульга В. Г. // ФТТ. 1981. Т. 23. № 8. С. 2488—2490.
- [3] Богуславский А. А., Лотфуллаев Р. Ш., Симонов М. В., Кириленко В. В., Пахомов В. И., Михайлова А. Я. // ФТТ. 1983. Т. 27. № 2. С. 523—524.
- [4] Петров В. В., Халахан А. Ю., Пицюга В. Г., Ячменев В. Е. // ФТТ. 1988. Т. 30. № 5. С. 1563—1565.
- [5] Дмитриев В. П., Юзюк Ю. И., Трегубченко А. В., Ларин Е. С., Кириленко В. В., Пахомов В. И. // ФТТ. 1988. Т. 30. № 4. С. 1214—1216.
- [6] Ляде С. А., Михайлова А. Я., Пахомов В. И., Кириленко В. В., Шульга В. Г. // Коорд. химия. 1983. Т. 9. № 7. С. 998—999.

Институт физики  
Дагестанский филиал АН СССР  
Махачкала

Поступило в Редакцию  
28 февраля 1989 г.

УДК 548 : 539.32

Физика твердого тела, том 31, в. 7, 1989  
*Solid State Physics, vol. 31, № 7, 1989*

## ИЗУЧЕНИЕ ВНУТРЕННЕГО ТРЕНИЯ БЕЗДИСЛОКАЦИОННЫХ КРИСТАЛЛОВ АНТИМОНИДА ИНДИЯ С РАЗЛИЧНОЙ КРИСТАЛЛОГРАФИЧЕСКОЙ ОРИЕНТАЦИЕЙ

П. А. Максимюк, А. В. Фомин, В. А. Глей, А. П. Онанко,  
М. Ю. Кравецкий, М. Я. Скороход

Настоящая работа является продолжением исследований упругих и неупругих характеристик кристаллов антимонида индия [1]. Исследования внутреннего трения (ВТ) антимонида индия свидетельствуют о возможности применения этого метода для изучения его структурных дефектов. Целью настоящего сообщения было изучение ВТ и модулей упругости бездислокационных кристаллов антимонида индия различной кристаллографической ориентации.

Для измерений использовался метод изгибных колебаний при знакопеременной деформации  $\sim 10^{-7}$  в вакууме  $\sim 10^{-3}$  Па. Приборные потери сводились к минимуму путем применения образцов III-образной формы, которые вырезались химической резкой [2] из одного бездислокационного слитка InSb. Были изготовлены две серии (по два в каждой) образцов, вырезанных по плоскости (111) в направлении [110] и по плоскости (110) в направлении [111]; толщина кристаллов  $\sim 300$  мкм. Для контроля дислокационной структуры перед и после измерения температурных зависимостей ВТ снимались рентгеновские топограммы по методу Бормана. Указанные измерения не влияли на дислокационную структуру, образцы оставались бездислокационными.

На рис. 1 представлены температурные зависимости ВТ бездислокационных кристаллов InSb. На кривой ВТ (1) максимум наблюдался при  $\sim 520$  К. Для кристаллографического направления (110) [111] этот максимум на кривой 2 сместился в температурное положение  $\sim 480$  К, при этом высота его оказалась почти в два раза меньше. Температурное положение